

広島大学工学部 名古屋光

・ 大学院 ○ 渡辺英正

著者らは、従来より水門の流出機構に及ぼす形状要素の影響を統一的に把握するための研究をおこなっておられるが、本研究はその一環としてリップエクステンションの影響について理論的、実験的な検討をおこなつたものである。

1. 水門形状のモデル化

水平床面上に設置された水門からの流出量、あるいは水門に作用する流体力学特性は、縮流係数の特性を知ることによつてはば解明される。

リップエクステンションを有する水門の縮流係数を求めるにあたつては、水門の形状をつきのようにモデル化する。リップエクステンション(BC部)を有する水門の本体としては、一般に图

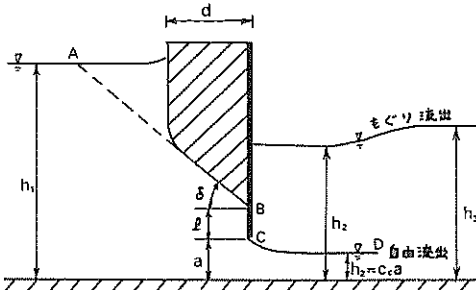


図1. リップ・エクステンションを有する水門

1の斜線で示すやうな形状のものが多く用いられる。リップエクステンションがない場合のこのやうな水門の縮流係数は、水門の厚さ a が十分大きい場合には、実用上底面傾斜角の等しい傾斜水門(ABで示されている)に対するものとはほぼ一致するとみなされる。¹⁾そこで理論解析においては、モデル水門として图のABで示すやうな傾斜水門の流出端に、BCで示される鉛直リップを有する水門を取り扱う。なお水門の厚さ a の影響については、実験的に考察する。

2. 解析概要と解析結果

1) 縮流係数

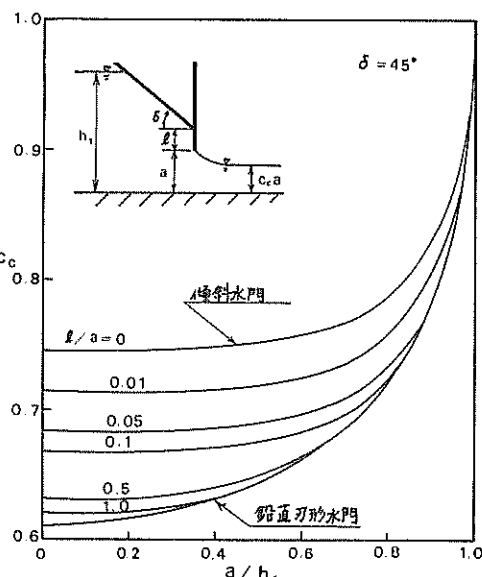
理論解析においては、つきの仮定をあてなう。
i) 流れは2次元ボテンシャル流である。ii) 上流水面は水平である。下流部後は图1のCDで示されるよろづ流速一定の自由流像が形成される。以上のよろづな仮定を満足すると、不連続流の解析におけるLevi-Civitaの方法によつて、つきの式が得られる。

$$C_c = \frac{1}{(a/h_1)} \left(\frac{1 - \sin \delta_A}{1 + \sin \delta_A} \right)^{\frac{\delta}{\pi}} \left(\frac{1 + \sin \delta_B}{1 - \sin \delta_B} \right)^{\left(\frac{\delta}{\pi} - \frac{1}{2}\right)} \quad (1)$$

$$\frac{\ell}{a} = \frac{2 C_c}{\pi} \int_{0}^{\delta_B} \left(\frac{\sin \delta_A + \sin s}{\sin \delta_A - \sin s} \right)^{\frac{\delta}{\pi}} \left(\frac{\sin \delta_B + \sin s}{\sin \delta_B - \sin s} \right)^{\left(\frac{1}{2} - \frac{\delta}{\pi}\right)} \tan s \, ds \quad (2)$$

$$\frac{\ell}{a} = \frac{1}{(a/h_1)} - 1 \quad (3)$$

$$-2 C_c \sin \delta \frac{1}{\pi} \int_{\delta_B}^{\delta_A} \left(\frac{\sin \delta_A + \sin s}{\sin \delta_A - \sin s} \right)^{\frac{\delta}{\pi}} \left(\frac{\sin s + \sin \delta_B}{\sin s - \sin \delta_B} \right)^{\left(\frac{1}{2} - \frac{\delta}{\pi}\right)} \tan s \, ds \quad (4)$$

図2. 縮流係数 ($\delta=45^\circ$)

ここに、 C_c ：縮流係数、 λ ：リップエクステンションの長さ、 a ：水門の開き高、 δ ：水門底面の傾斜角(図の方向を正とする)、 h_1 ：上流水深、 $\sin\sigma_A$ 、 $\sin\sigma_B$ ：補助平面における点Aおよび点Bの値($0 \leq \sigma \leq \frac{\pi}{2}$)以上の3式あり、 $\%_{\lambda}$ 、 $\%_{\alpha}$ および $\%_{\delta}$ を与えると縮流係数 C_c が求まる。図2は計算結果の一例とし、 δ が 45° の場合の縮流係数の値を示したものである。この図において曲線の上限は傾斜水門の値を示し、下限は船直立形水門の値を示してある。

2) 流量係数

自由流出時、すなわちモードリ出時の流量係数は、縮流係数を用いて求められるが、その計算には図2に報告したのと同様に省略する。分かれた結果は後に実験値とともに示す。

3) 左力分布

水路底より水門板上の点までの船直距離をとると、その点の圧力 P はBernoulliの式を用いて以下のようにあらわされる。これらの式中の σ は左力を求める点の補助平面における値である。また h_2 は水門板直下流の水深であり、自由流出時には $h_2=a$ となる。

A-B部分($0 \leq \sigma \leq \sigma_A$)

$$\frac{P}{\rho g a} = \frac{(h_1 - h_2)}{a} \left[1 - \left| \left(\frac{\sin\sigma_A - \sin\sigma}{\sin\sigma_A + \sin\sigma} \right)^{\frac{\delta}{\pi}} \left(\frac{\sin\sigma_B - \sin\sigma}{\sin\sigma_B + \sin\sigma} \right)^{\left(\frac{1}{2} - \frac{\delta}{\pi}\right)} \right|^2 \right] + \frac{(h_2 - y)}{a} \quad (4)$$

$$\frac{y}{a} = 1 + \frac{\ell}{a} + \frac{2C_c \sin\delta}{\pi} \int_{\sigma_A}^{\sigma} \left(\frac{\sin\sigma_A + \sin\sigma}{\sin\sigma_B - \sin\sigma} \right)^{\frac{\delta}{\pi}} \left(\frac{\sin\sigma_B - \sin\sigma}{\sin\sigma_B + \sin\sigma} \right)^{\left(\frac{1}{2} - \frac{\delta}{\pi}\right)} \tan s \, ds \quad (5)$$

B-C部分($0 \leq \sigma \leq \sigma_B$)

$$\frac{P}{\rho g a} = \frac{(h_1 - h_2)}{a} \left[1 - \left| \left(\frac{\sin\sigma_A - \sin\sigma}{\sin\sigma_A + \sin\sigma} \right)^{\frac{\delta}{\pi}} \left(\frac{\sin\sigma_B - \sin\sigma}{\sin\sigma_B + \sin\sigma} \right)^{\left(\frac{1}{2} - \frac{\delta}{\pi}\right)} \right|^2 \right] + \frac{(h_2 - y)}{a} \quad (6)$$

$$\frac{y}{a} = 1 + \frac{2C_c}{\pi} \int_0^{\sigma} \left(\frac{\sin\sigma_A + \sin\sigma}{\sin\sigma_B - \sin\sigma} \right)^{\frac{\delta}{\pi}} \left(\frac{\sin\sigma_B - \sin\sigma}{\sin\sigma_B + \sin\sigma} \right)^{\left(\frac{1}{2} - \frac{\delta}{\pi}\right)} \tan s \, ds \quad (7)$$

これらの式を用いて計算した結果は後に実験値とともに示す。

3. 実験装置および実験方法

実験には、幅40cm、高さ60cm、長さ10mのアクリライト製水平直線水路を使用した。水門としては、アクリライト製の傾斜部($\delta=30^\circ$ 、 45° 、 60°)にステンレス製の船直立リップ($\lambda=3\sim60$ mm)を取り付けたものを用いた。水門の開き高は8.0cmとした。圧力は、水門板に内径2mmの銀線10°ゲージを取り付け、それとビニールチューブで接続されたマニメーターを用いて測定した。

4. 実験結果とその考察

1) 縮流係数

図3は縮流係数の実験結果の一例である。理論解析で得られた縮流係数の値(たとえば図2)には、重力の影響が考慮されていないため、絶対的な値は実験値と一致しないことが予想される。この図では重力の影響を除去し、リップの長さの影響を明確にするため、横軸に $\%_{\lambda}$ 、縦軸に $(C_c - C_c(90^\circ)) / (C_c(45^\circ) - C_c(90^\circ))$ をとっている。ここで $C_c(90^\circ)$ および $C_c(45^\circ)$ はそれぞれ船直立形水門、および $\delta=45^\circ$ の傾斜水門の縮流係数の値である。図中の実線は理論値であるが、実験値の傾向とよく一致していることがわかる。またリップエクステンションを施すことにより、縮流係数は傾斜水門の値より著しく減少し、 $\%_{\lambda}=10$

程度にはさとうひとんび鉛直刃形木門の値に等しくなることわかる。

2) 流量係数

図4は自由流出時の流量係数を縮流係数の場合と同様の方法で整理したものである。流量係数の理論値は $C = C_c / \sqrt{1 + C_c d/h_1}$ として計算し、実験値は $C = Q / BaV / 2gh_1$ として得たものである。ここで B は水路幅である。この図より実験値と理論値はよく一致している。またリップエクストンジョンの流量係数に及ぼす影響は、縮流係数の場合と同様な傾向を示していることがわかる。なおもぐり流出時の流量係数は1.1217、縮流係数の理論値を用いて計算した結果が実験値とよく一致した。(詳細は講演時に述べる。)

3) 木門の厚さ d の影響

前項までは、まさに逆や戻モデル木門に対する理論および実験の結果であるが、ここでは木門の厚さ d を考慮した場合にその影響かの検

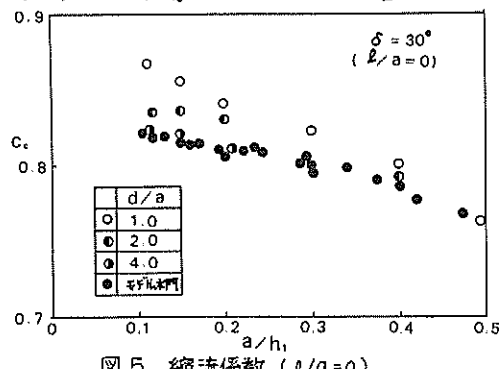


図5 縮流係数 ($l/a=0$)

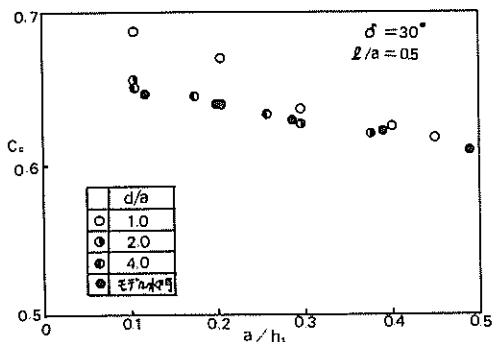


図7 縮流係数 ($l/a=0.5$)

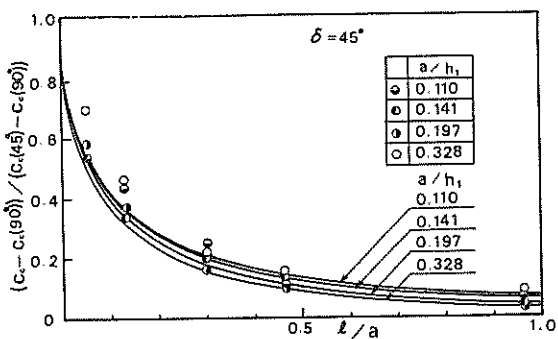


図3. 縮流係数

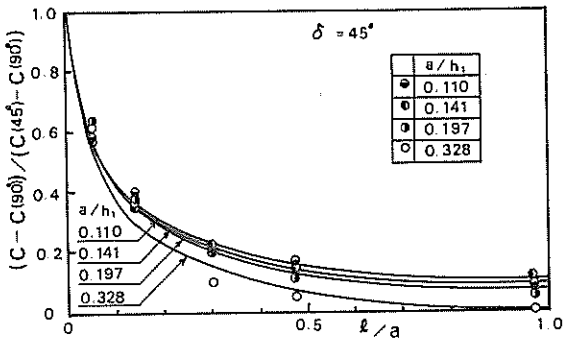


図4. 流量係数

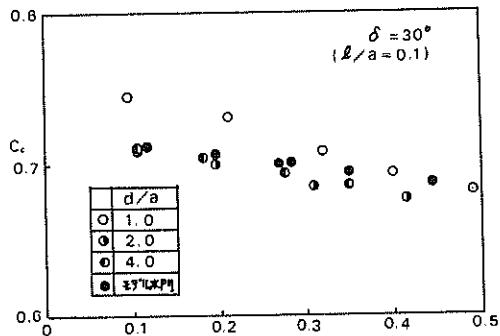


図6. 縮流係数 ($l/a=0.1$)

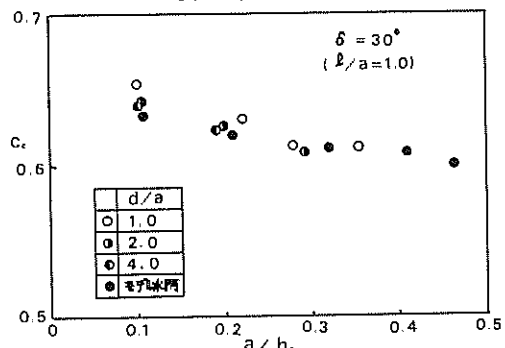
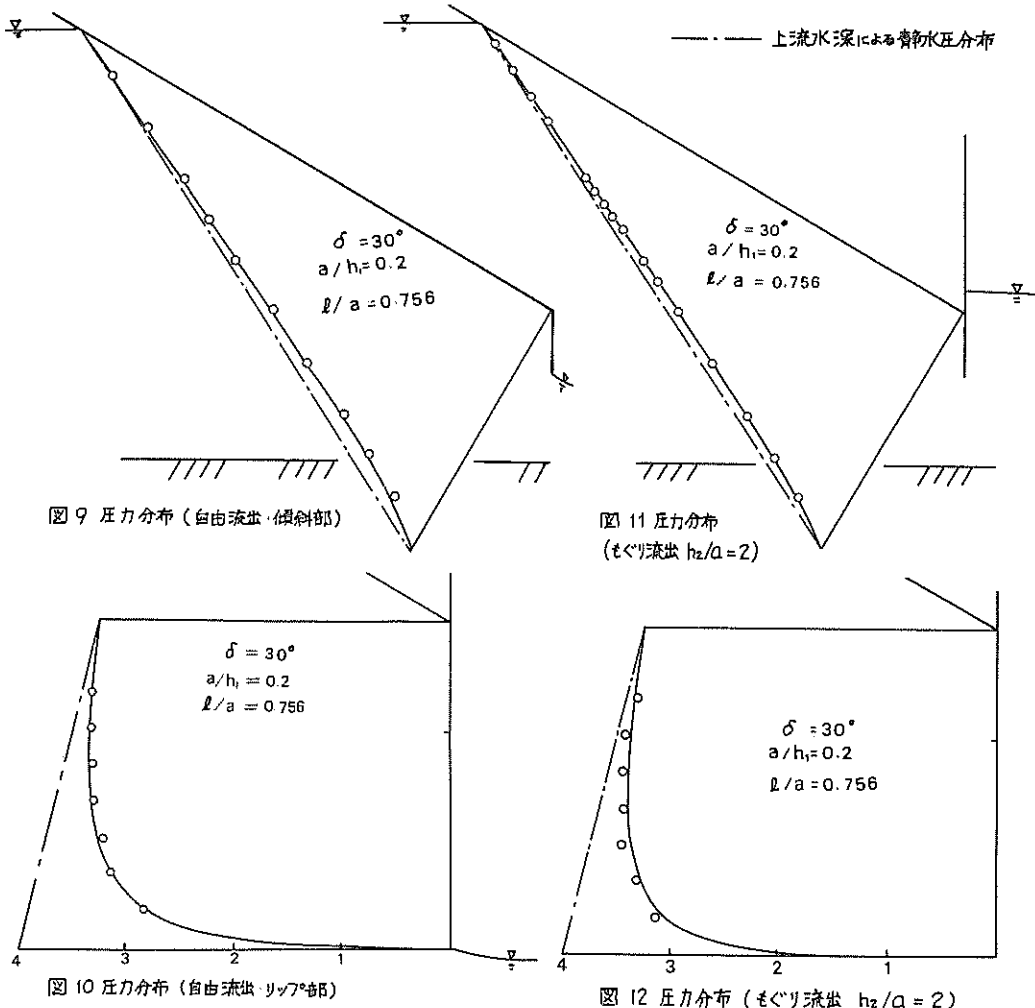


図8. 縮流係数 ($l/a=1.0$)

度であるかを、縮流係数の実験結果を用いて検討する。図5, 6, 7および8は、 δ が 30° の場合における、 $a/h_1 = 0, 0.1, 0.5, 1.0$ の場合の縮流係数の実験値を示したものである。各図に示すのは、 $a/h_1 = 1.0, 2.0$ および 4.0 の場合の値がモデル水門の値と比較されている。これらの図によると a/h_1 が 1.0 以上になると、 δ に対するものはモデル水門の値に一致する傾向がある。なお、 δ が 45° および 60° の場合には、水門の厚さの影響は、 δ が 30° の場合に比べて少なくなることは、傾斜底水門の実験結果より確定される。

4) 圧力分布

図9および図10は自由流出時の傾斜部および鋸歯リップ部の圧力分布を示したものであり、図11および図12はもぐり流出時のものである。これらの図は圧力分布の一例であるが、他の実験条件の場合もほぼこれらと同様であり、理論値と実験値はよく一致することを示している。



参考文献

1) 合成之: 傾斜底水門の縮流係数の理論解, 広大工学部研究報告, 第19巻第1冊, 昭45年10月
2) 合成之, 稲原圭司, 楠喜税: 傾斜底水門の漏出係数に関する研究, 第23回中央支那年講, 昭46年5月